

## РЕЗОНАНСНОЕ КОМБИНАЦИОННОЕ РАССЕЯНИЕ СВЕТА В ГАЛОГЕНОФУЛЛЕРЕНАХ $C_{60}Cl_{24}$

© М.Ф.Лимонов, А.В.Чугреев, Ю.С.Грушко\*,  
С.Н.Колесник\*, С.Г.Колесник\*

Физико-технический институт им. А.Ф. Иоффе Российской академии наук,  
194021 Санкт-Петербург, Россия

\* Петербургский институт ядерной физики им. Б.П. Константинова  
Российской академии наук, 188350 Гатчина, Россия  
(Поступила в Редакцию 14 июня 1996 г.)

Обнаружено резонансное комбинационное рассеяние света в галогенофуллеренах  $C_{60}Cl_{24}$ . Эффект связан с взаимодействием колебательной подсистемы и электронных состояний с энергиами 2.3–2.5 eV, характеризуется значительным ( $\approx 10^2$ ) усилением интенсивности рассеяния по сравнению с нерезонансным случаем ( $C_{70}Cl_{17}$ ) и повторением спектра вторичного свечения (колебательного и люминесцентного) на частоте самого высоконергетического фонона  $1508\text{ cm}^{-1}$ .

Комбинационное рассеяние (КР) света является информативным методом изучения фононных и электронных состояний, особенно в резонансных условиях при попадании возбуждающего излучения в область поглощения.

Резонансное КР в чистых фуллеренах  $C_{60}$  и  $C_{70}$  и фуллеренах с металлическим додированием  $K_xC_{60}$  наблюдалось ранее по изменению интенсивности линий в спектрах в зависимости от частоты возбуждающего света [1–3]. В работах, посвященных исследованию КР в галогенофуллеренах  $C_{60}I_x$ ,  $C_{70}I_x$  [4–6],  $C_{60}Br_6$ ,  $C_{60}Br_{12}$  и  $C_{60}Br_{24}$  [7,8], подобные эффекты не изучались и не обсуждались.

В настоящей работе мы сообщаем об обнаружении резонансного КР в галогенофуллеренах  $C_{60}Cl_{24}$ . Наблюдавшееся явление не ограничивается изменением интенсивности линий, оно оказалось гораздо ярче и сопровождается эффектом повторения спектра вторичного свечения (фононного и люминесцентного), а также возгоранием новых линий в резонансных условиях.

Образцы были синтезированы по методике, разработанной на основе данных из работы [9]: фуллерены  $C_{60}$  либо  $C_{70}$  помещались при температуре 600 K в поток предварительно очищенного от влаги хлора на 6 h, после чего хлор заменялся на аргон и температура понижалась до комнатной со скоростью 50 K/h. Составы полученных соединений были определены методом весового анализа:  $C_{60}Cl_{24}$  (что в точности соответствует стехиометрическому составу [10]) и  $C_{70}Cl_{17}$ . Образцы представляют собой порошки:  $C_{60}Cl_{24}$  — светло-желтого цвета,  $C_{70}Cl_{17}$  — чуть более коричневатого цвета.

Рассеяние света изучалось на тройном раман-спектрометре Z-24 (DILOR) при комнатной температуре. Спектральная цель прибора составляла  $5\text{--}8\text{ cm}^{-1}$ . Спектры возбуждались с помощью Аргон-лазера Spectra-Physics 2020-05 ( $\lambda_{\text{exc}} = 514.5$  и  $496.5\text{ nm}$ ) и Не-Не-лазера ( $632.8\text{ nm}$ ). Мощность излучения на образце не превышала  $1\text{ mW/mm}^2$ . Спектры поглощения были исследованы с помощью спектрометра ДФС-12.

На рисунке в единой энергетической шкале приведены спектры вторичного свечения соединений  $C_{60}Cl_{24}$  ( $\lambda_{\text{exc}} = 514.5$  и  $496.5\text{ nm}$ ) и  $C_{70}Cl_{17}$  ( $514.5\text{ nm}$ ), а также спектры поглощения  $C_{60}Cl_{24}$ .

Выделим в спектрах вторичного свечения  $C_{60}Cl_{24}$  пять групп линий и полос, обозначая их далее  $L$ ,  $\nu$ ,  $\Delta$ ,  $\omega$ ,  $\Omega$ .

1) Две широкие интенсивные полосы  $L_1$  и  $L_2$  с энергиями  $\approx 2.325$  и  $2.140\text{ eV}$ . Эти полосы близки по форме, имеют сходные интенсивности и полуширины  $\approx 0.04\text{ eV}$ , что соответствует  $\approx 300\text{ cm}^{-1}$ .

2) Ряд достаточно узких (полуширина  $5\text{--}30\text{ cm}^{-1}$ ) линий  $\nu$ , которые наблюдаются в спектрах как при  $\lambda_{\text{exc}} = 514.5\text{ nm}$ , так и при  $\lambda_{\text{exc}} = 496.5\text{ nm}$ . Укажем наиболее интенсивные из этих линий, смещенные относительно каждой возбуждающей на частоты  $\nu = 135$ ,  $269$ ,  $301$ ,  $1385\text{ cm}^{-1}$ .

3) Отдельно выделим самую высокочастотную линию этого ряда  $\Delta = 1508\text{ cm}^{-1}$  (полуширина  $\approx 25\text{ cm}^{-1}$  при  $\lambda_{\text{exc}} = 514.5\text{ nm}$ ).

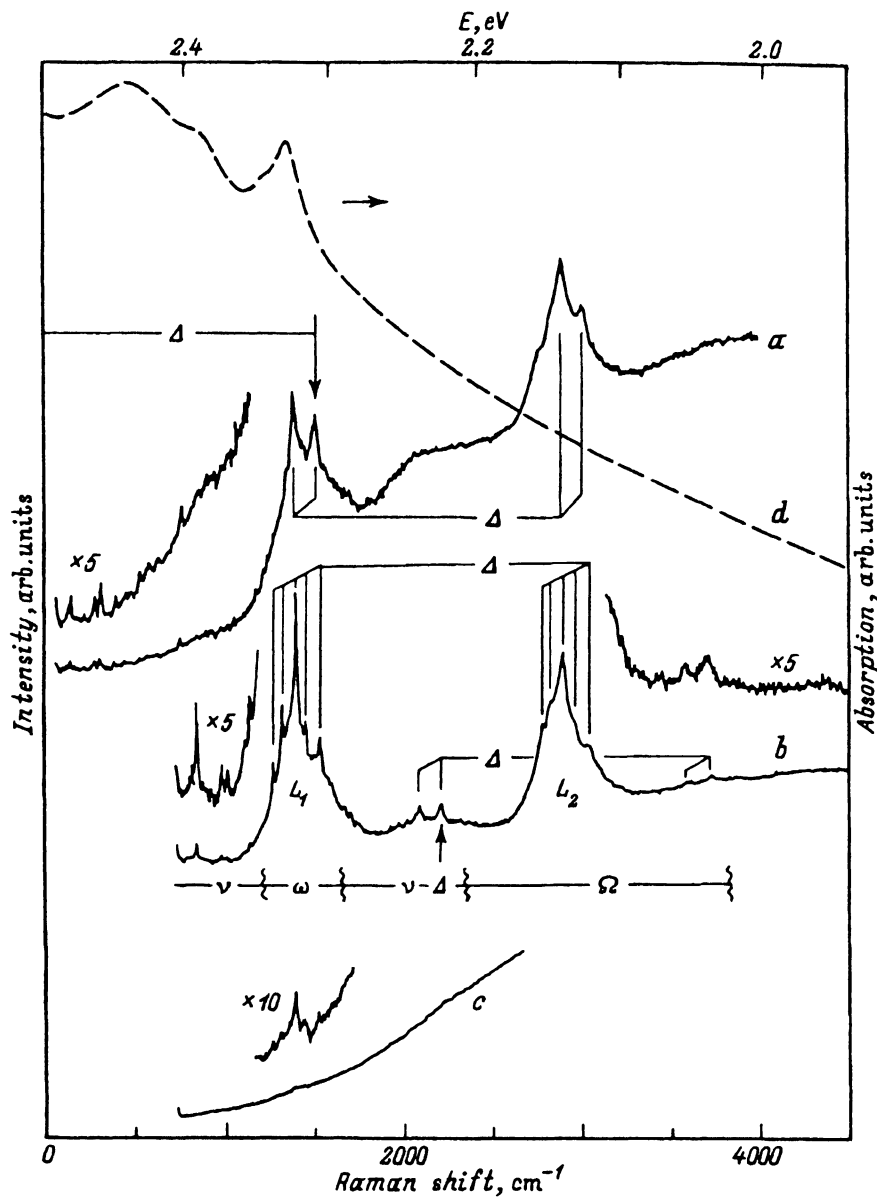
4) Следующую группу  $\omega$  образуют узкие интенсивные линии, которые удалось наблюдать только при  $\lambda_{\text{exc}} = 514.5\text{ nm}$ . Они попадают на полосу  $L_1$  и имеют частоты  $\omega = 570$ ,  $616$ ,  $697$ ,  $752$ ,  $831\text{ cm}^{-1}$ .

5) И наконец, линии  $\Omega$  разной интенсивности и полуширины ( $10\text{--}50\text{ cm}^{-1}$ ), смещенные более чем на  $1508\text{ cm}^{-1}$  относительно возбуждающей. В эту группу входят, в частности, линии  $2082$ ,  $2126$ ,  $2207$ ,  $2262$ ,  $2330$ ,  $2890$ ,  $3015\text{ cm}^{-1}$  при  $\lambda_{\text{exc}} = 514.5\text{ nm}$  и  $2885$ ,  $3010\text{ cm}^{-1}$  при  $\lambda_{\text{exc}} = 496.5\text{ nm}$ .

Проведем интерпретацию спектров и обсудим полученные результаты. Линии, обозначенные выше как  $\nu$  и  $\Delta$ , смещаются в спектральной шкале при изменении  $\lambda_{\text{exc}}$  и наблюдаются как в стоксовой области спектра, так и в антистоксовой (с хорошим отношением сигнал/шум, по крайней мере низкочастотные линии  $\nu$ ). Заметим также, что линии  $\nu$ ,  $\Delta$  лежат в области  $100\text{--}1600\text{ cm}^{-1}$ , что совпадает с диапазоном, характерным для однофононного спектра фуллеренов и галогенофуллеренов [1–8, 11]. Все это свидетельствует о том, что линии  $\nu$ ,  $\Delta$  обусловлены КР света на оптических фононах  $C_{60}Cl_{24}$ .

На рисунке хорошо видна зависимость интенсивности линий  $\nu$  от  $\lambda_{\text{exc}}$  (см. низкочастотную область спектров КР, приведенную в увеличенном масштабе). Так, при  $\lambda_{\text{exc}} = 514.5\text{ nm}$  интенсивность линии  $135\text{ cm}^{-1}$  примерно втрое больше интенсивностей линий  $296$  и  $301\text{ cm}^{-1}$ , в то время как при  $\lambda_{\text{exc}} = 496.5\text{ nm}$  эти три линии имеют близкие интенсивности.

Исходным экспериментальным фактом при интерпретации полосы  $L_1$  ( $\approx 2.325\text{ eV}$ ) является фактическое совпадение ее энергетического положения и полуширины с параметрами линии  $2.328\text{ eV}$  в спектре поглощения  $C_{60}Cl_{24}$  (см. рисунок). Эта слабоинтенсивная линия поглощения расположена по энергии ниже края фундаментального погло-



Спектры вторичного свечения (сплошные кривые)  $C_{60}Cl_{24}$  (a, b) и  $C_{70}Cl_{17}$  (c) при  $\lambda_{\text{exc}} = 496.5$  (a) и  $514.5$  nm (b, c).

На спектрах a и b выделены группы линий, повторяющихся на частоте фонона  $\Delta = 1508 \text{ cm}^{-1}$ . Штриховая кривая (d) — спектр поглощения  $C_{60}Cl_{24}$ . Все спектры получены при  $T = 290$  K.

шения. Учитывая независимость спектрального положения полосы  $L_1$  от частоты возбуждающего света (см. рисунок) и ее отсутствие при  $\lambda_{\text{exc}} = 632.8$  nm, а также в антистоковой части спектров рассеяния, эту полосу следует связать с люминесценцией с электронного уровня 2.328 eV.

Укажем теперь возможную природу линий  $\omega$ . В спектрах, полученных при  $\lambda_{\text{exc}} = 496.5 \text{ nm}$ , на полосе  $L_1$  четко различимы две линии с частотами  $\nu = 1385 \text{ cm}^{-1}$  и  $\Delta = 1508 \text{ cm}^{-1}$ . Эти же две линии практически с теми же сдвигами 1390 и  $1508 \text{ cm}^{-1}$  наблюдаются и при  $\lambda_{\text{exc}} = 514.5 \text{ nm}$ , попадая между полосами  $L_1$  и  $L_2$ . В то же время при  $\lambda_{\text{exc}} = 514.5 \text{ nm}$  на полосе  $L_1$  наблюдаются по крайней мере пять узких интенсивных линий, обозначенных выше как  $\omega$ . Однако при переходе к  $\lambda_{\text{exc}} = 496.5 \text{ nm}$  их не удалось выделить в спектрах достаточно достоверно. Возможно, это связано с крайне слабой интенсивностью линий  $\omega$  в нерезонансных для них условиях при  $\lambda_{\text{exc}} = 496.5 \text{ nm}$ . Можно высказать предположение и о связи этих линий с инфракрасно-активными колебаниями решетки  $C_{60}Cl_{24}$ : в случае резонанса с электронным уровнем (при  $\lambda_{\text{exc}} = 514.5 \text{ nm}$ ) правила отбора изменяются, и такие колебания могут возгорать в спектрах КР.

И наконец, обсудим происхождение линий  $\Omega$ , а также полосы  $L_2$ , не имеющей своего аналога в спектре поглощения. Для всех этих линий с достаточно высокой точностью выполняется следующее правило:

$$\begin{aligned}\Omega_i &= \nu + \Delta, \\ \Omega_j &= \omega + \Delta, \\ \Omega_k &= \Delta + \Delta, \\ L_1 &= L_2 + \Delta,\end{aligned}$$

где частоты  $\nu$ ,  $\Delta$ ,  $\omega$ ,  $\Omega$  определяются относительно частоты возбуждающей линии, а энергетическое положение полос  $L_1$ ,  $L_2$  — в абсолютной шкале. Таким образом, все эти спектральные особенности являются фоновыми повторениями колебательного спектра и люминесцентной полосы  $L_1$  на частоте самого высокоэнергетического из наблюдавшихся фундаментальных колебаний  $\Delta = 1508 \text{ cm}^{-1}$ . Наибольший сдвиг имеет линия  $\Omega = 3016 \text{ cm}^{-1} = 2\Delta$ .

Полосы  $L_2$  и  $L_1$  в силу своеобразного резонансного характера эффекта имеют практически одинаковую интенсивность и полуширину. Линии  $\Omega$  незначительно уширены (не более чем в 2 раза) и несколько «замыты» по сравнению с соответствующими линиями  $\nu$  и  $\omega$ .

Эффект повторения наблюдается только для тех фонов, которые при заданной  $\lambda_{\text{exc}}$  оказываются ниже по энергетической шкале, чем электронное состояние, определяющее полосу поглощения 2.328 eV.

На резонансный характер явления указывает также отсутствие описанных явлений в спектрах  $C_{60}Cl_{24}$ , если энергия возбуждающего света меньше 2.3 eV (например, при  $\lambda_{\text{exc}} = 632.8 \text{ nm}$ ), а также в спектрах рассеяния соединения  $C_{70}Cl_{17}$  (см. рисунок), у которого в обсуждаемом частотном диапазоне спектр поглощения не содержит никаких особенностей. Необходимо отметить, что интенсивность всех линий ( $\nu$ ,  $\omega$ ,  $\Delta$ ,  $\Omega$ ), попадающих в область резонанса, примерно на два порядка выше интенсивности линий в спектрах КР в отсутствие резонанса.

Полученные спектры содержат также важную информацию о характере связей углерод-галоген в  $C_{60}Cl_{24}$  и  $C_{70}Cl_{17}$ . Валентное колебание C-Cl имеет характеристическую частоту  $\approx 700 \text{ cm}^{-1}$  [12]. В спектре  $C_{70}Cl_{17}$  наиболее интенсивная линия КР имеет именно такую частоту,

в спектре  $C_{60}Cl_{24}$  при  $\lambda_{exc} = 514.5\text{ nm}$  в этой области выделяется целая группа линий  $\omega$  (частота самой интенсивной из них  $697\text{ cm}^{-1}$ ), а при  $\lambda_{exc} = 496.5\text{ nm}$  наблюдается линия с близкой частотой  $739\text{ cm}^{-1}$ . Все это свидетельствует об образовании ковалентной связи C–Cl у соединений  $C_{60}Cl_{24}$  и  $C_{70}Cl_{17}$  по аналогии с ковалентной связью C–Br в  $C_{60}Br_6$ ,  $C_{60}Br_8$  и  $C_{60}Br_{24}$  [7,8,10] и в противоположность системам  $C_{60}I_x$  и  $C_{70}I_x$ , в которых ковалентной связи C–I не образуется, а структуры состоят из молекул  $C_{60}$  либо  $C_{70}$ , связанных с молекулами  $I_2$  силами Ван-дер-Ваальса [4–6].

Поэтому достаточно уверенно можно говорить об изоструктурном строении соединений  $C_{60}Cl_{24}$  и  $C_{60}Br_{24}$ . Как было установлено [10], последние состоят из молекул, каждая из которых образована фуллереновым «мячиком»  $C_{60}$  и 24 атомами Br, ковалентно связанными с атомами углерода, расположеными в определенных позициях «мячика».

В заключение отметим, что главным результатом настоящей работы является обнаружение резонансного комбинационного рассеяния света в галогенофуллеренах  $C_{60}Cl_{24}$ . Эффект обусловлен взаимодействием фононной подсистемы с электронными состояниями 2.3–2.5eV и характеризуется следующими основными чертами: 1) повторением спектра вторичного свечения (колебательного и люминесцентного) на частоте  $\Delta = 1508\text{ cm}^{-1}$ , соответствующей самому высокоэнергетическому из наблюдавшихся фундаментальных колебаний; 2) увеличением интенсивности рассеяния света в  $C_{60}Cl_{24}$  примерно на два порядка по сравнению с нерезонансным рассеянием в  $C_{70}Cl_{17}$ ; 3) проявлением в спектре рассеяния  $C_{60}Cl_{24}$  линий  $\omega$ , которые возгорают при резонансе с электронным состоянием ( $\lambda_{exc} = 514.5\text{ nm}$ ) и не наблюдаются в отсутствии резонанса ( $\lambda_{exc} = 496.5\text{ nm}$ ).

Авторы благодарят Б.С. Разбирина, А.А. Ключихина и С.А. Пермогорова за обсуждение результатов работы.

Работа выполнена в рамках Российской научно-технической программы «Фуллерены и атомные кластеры» (проект 94010 «Оscиллятор»).

### Список литературы

- [1] M. Matus, S. Balgavy, H. Kuzmany, W. Krätschmer. *Physica* **C185–189**, 423 (1991).
- [2] D. Dick, R.E. Benner, Z.V. Vardeny, D. Moses, V.I. Srđanov, F. Wudl. *Synth. Metals*. **50**, 543 (1992).
- [3] В.Н. Денисов, Б.Н. Маврин, Ж. Руани , Р. Замбони, К. Талиани. *ЖЭТФ* **102**, 300 (1992).
- [4] Yu.E. Kitaev, L.V. Laisheva, M.F. Limonov T.I. Maksimova, R.A. Evarestov, Yu.S. Grushko, S.N. Kolesnik, J. Hanuza, J. Baran. *Mol. Mat.* **5**, 117 (1994).
- [5] Yu.S. Grushko, R.A. Evarestov, Yu.E. Kitaev, S.N. Kolesnik, L.V. Laisheva, M.F. Limonov, T.I. Maksimova, J. Hanuza, J. Baran. *Physica* **C235–240**, Pt II, 1201 (1994).
- [6] P.V. Huong. *Solid State Commun* **88**, 23 (1993).
- [7] P.R. Birkett, H.W. Kroto, R. Taylor , D.R.M. Walton, R.I. Grose, P.J. Hendra, P.W. Fowler. *Chem. Phys. Lett.* **205**, 399 (1993).
- [8] Yu.E. Kitaev, L.V. Laisheva, M.F. Limonov R.A. Evarestov, A.V. Leko, V.A. Veryazov, Yu.S. Grushko, S.G. Kolesnik, S.N. Kolesnik. *Mol. Mat.* **7**, 217 (1996).
- [9] G.A. Olah, I. Bucsi, C. Lambert, R. Anisfeld, N.J. Trivedi, D.K. Sensharma, G.K.S. Prakash. *J. Am. Chem. Soc.* **113**, 9385 (1991).

- [10] F.N. Tebbe, R.L. Harlow, D.B. Chase, D.L. Thorn, G.C. Campell, J.C. Calabrese, N. Herron, R.J. Young, E. Wasserman. *Science* **256**, 822 (1992).
- [11] Ю.С. Грушко, Ю.В. Ганжа, М.Ф. Ковалев, Ю.Э. Китаев, М.Ф. Лимонов, Т.И. Максимова, Р.А. Эварестов. *ФТТ* **35**, 4, 980 (1993).
- [12] Г. Герцберг. Колебательные и вращательные спектры многоатомных молекул. М.: Иностран. лит. (1949) (G. Herzberg. *Infrared and Raman spectra of polyatomic molecules*. N. Y. (1945)).